

**Исследование изменения периода затменной переменной V566 Змееносца.**

**В.Г. Каратников, Ю.Т. Федотов.**

**Investigation of period variations of the eclipsing variable star V 566 Ophiuchi, by V.G. Karetnikov, Yu.T. Fedotov.**

По 98 моментам первичных минимумов, имеющихся в литературе, проведено исследование изменения периода затменной переменной типа W UMa V 566 Змееносца. Наблюдения охватывают период времени от 1942 до 1982 года.

Получены следующие элементы кривой блеска:

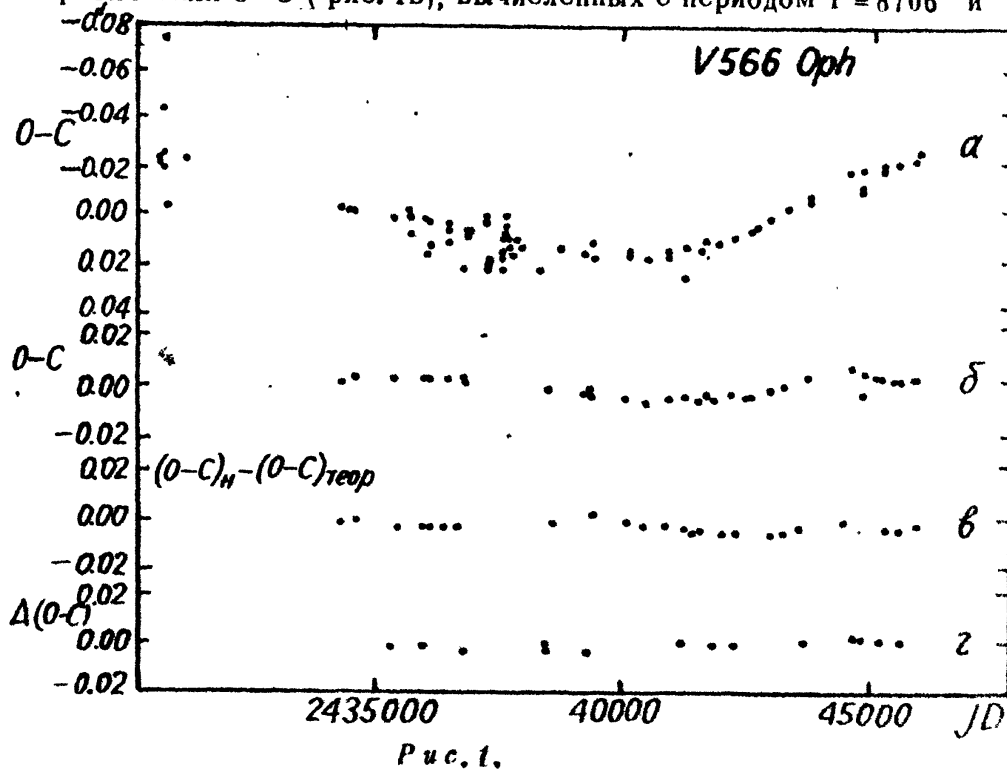
$$\text{Min I hel.} = 2440418.5095 + 0.40964254 \cdot E. \quad (1)$$

$\pm 0.0018 \quad .00000017$

По этим элементам вычислены остатки О-С и построен график О-С - JD (рис. 1а). Видно, что О-С меняется по параболическому закону и описывается формулой:

$$\text{Min I hel.} = 2440418.4984 + 0.409643515 \cdot E + 1.17 \cdot 10^{-10} \cdot E^2. \quad (2)$$

Остатки О-С, вычисленные по этой формуле, изображены на рис. 1б. График показывает, что О-С меняется еще и по синусоиде с периодом 24 года и амплитудой 0.006. Для удобства на этом графике нанесены только О-С, полученные по электрофотометрическим наблюдениям, так как они точнее визуальных и фотографических наблюдений. Ниже на этом же рисунке построен график разности наблюденных и теоретических О-С (рис. 1в), вычисленных с периодом  $P = 8706^d$  и



*Рис. 1.*

амплитудой  $A = 0^d.006$ . Получается прямая линия, что говорит о том, что период и амплитуда этой синусоиды определены правильно.

Это можно интерпретировать так, что переменная V 566 Oph не двойная, а тройная система, вращающаяся вокруг общего центра масс с периодом  $P = 8706^d$  и  $a \sin i = 1.555 \cdot 10^8$  км.

Исследовано также смещение вторичного минимума относительно главного. Для этого вычислялись О-С для обоих минимумов, причем  $(O-C)_{min\ II}$  вычислялись по формуле (1), а  $(O-C)_{min\ I}$  по формуле:

$$\text{Min II hel.} = 2435245.7514 + 0^d.40964242 \cdot E. \quad (3)$$

$$\pm .00031 \quad .00000021$$

Как видим, периоды, вычисленные по главным и вторичным минимумам, совпадают. Для более строгого исследования мы ввели параметр  $\Delta(O-C) = (O-C)_{min\ II} - (O-C)_{min\ I}$ , причем только для электрофотометрических минимумов. Полученные разности отложены на графике  $\Delta(O-C) - JD$  (рис. 1г.). Получается прямая, что говорит о том, что вторичный минимум не смещается относительно главного, и значит, линия апсид не вращается.

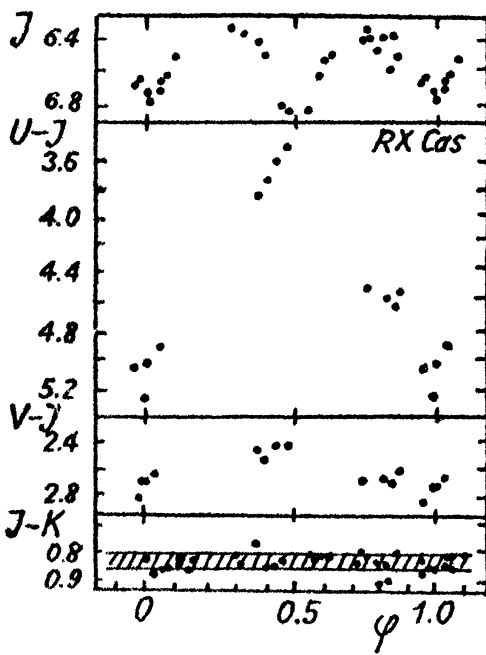
*Одесская астрономическая обсерватория ОГУ.*

## Об отношении масс компонентов в системе RX Кассиопеи.

**О.Г. Таранова.**

On the mass ratio of the components in the system RX Cassiopeiae,  
by O.G. Taranova.

Из анализа оптических и инфракрасных кривых блеска затменной двойной RX Cas вблизи минимума физической переменности следует, что изменения блеска холодного компонента (гиганта G5-G8) при орбитальном движении в основном являются следствием его эллипсо-



дальности и холодный компонент в системе близок к заполнению своей приливной полости Роша. На рисунке приведены изменения блеска J и показателей цвета ( $U-J$ ), ( $V-J$ ) и ( $J-K$ ) при орбитальном движении вблизи минимума физической переменности системы RX Cas. При наблюдаемой амплитуде эллипсональных изменений блеска J ( $\Delta J \approx 0^m.28$ ), полагая, что  $i > 80^\circ$ ,  $\mu \geq 0.97$ ,  $u(J) = 0.40$  и  $\beta(J) = 0.20$ , на основании интерполяции и экстраполяции данных таблиц из работы Бочкирева и др. (АЖ 56, 16, 1979), получаем, что масса горячего компонента более, чем в 10 раз превышает массу холодного. При  $M_r/M_x = 10$  и  $M_x = 0.5M_\odot$  горячим компонентом в си-